

伊ノ浦橋架設工事に於ける2,3の問題

九州地建 村上永一

1. 伊ノ浦橋は固定アーチとして Niagara の Rainbow 橋, New York 市の Henry Hudson 橋に次いで世界第三位に位する。その架設に当つては 1 本のペントも立てられず、ケーブルによりアーチ子主構を吊出ししその精密な操作に依り所定の位置と wire 張力を保ちつつ、左右より突出した半アーチは中央に於て相合らしその開合に当つては 300t ジャギー 8 台を装置しその推力により。

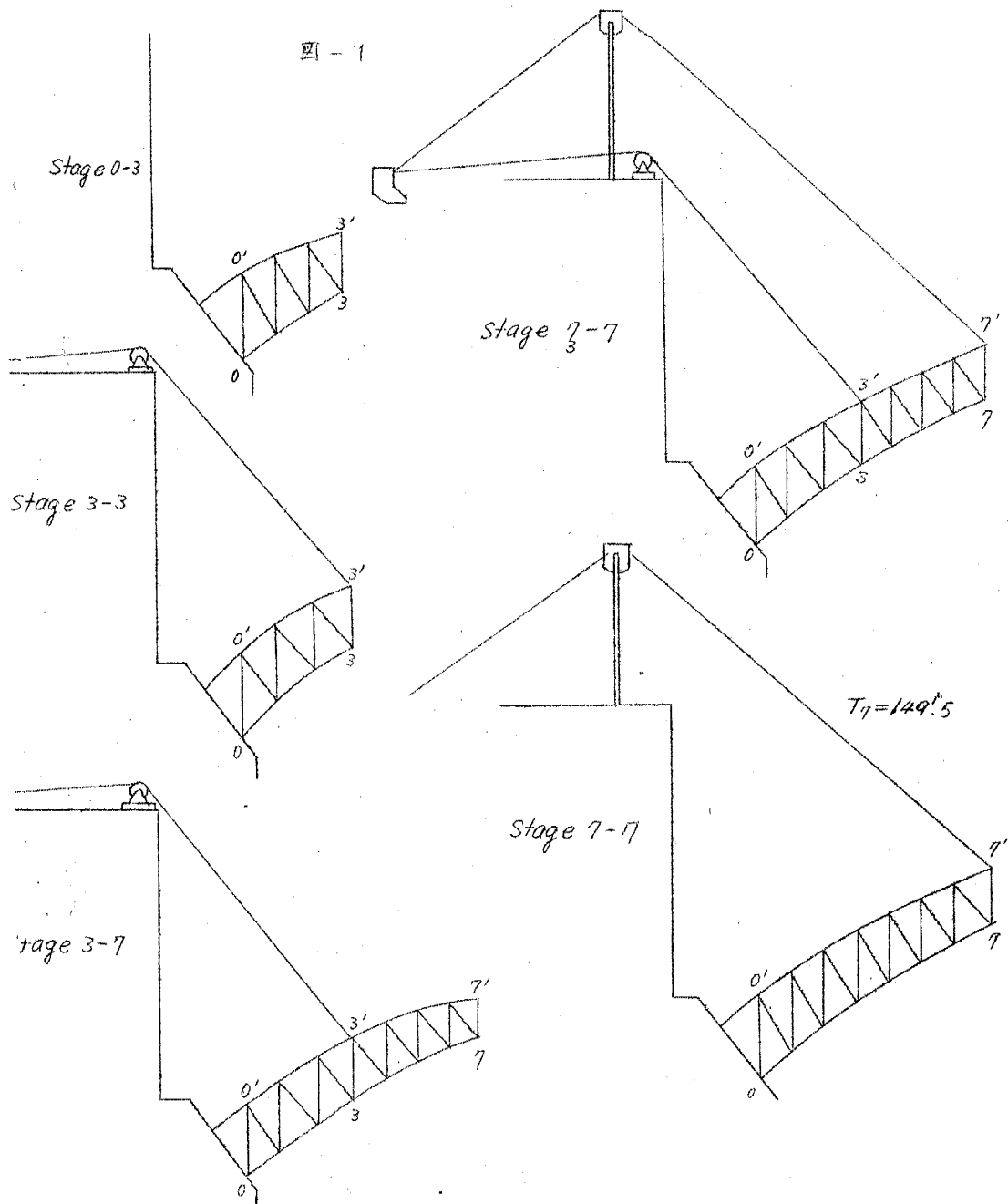
a. 架設应力を除去し固定アーチ子本末の应力分布に変換する。

b. 更に予应力を添加しアーチの应力分布を改良し固定アーチの設計を一段と経済的なものにする。

a の方法は上記 2 橋において実施したところであるが、b の工法は世界最初の試であつて本橋の成否は一つにこの作業に掛つてゐる。予应力添加による应力の改良は表-1 の如くであり、これによると上弦側支承に生ずる引張力を除去することが出来た。

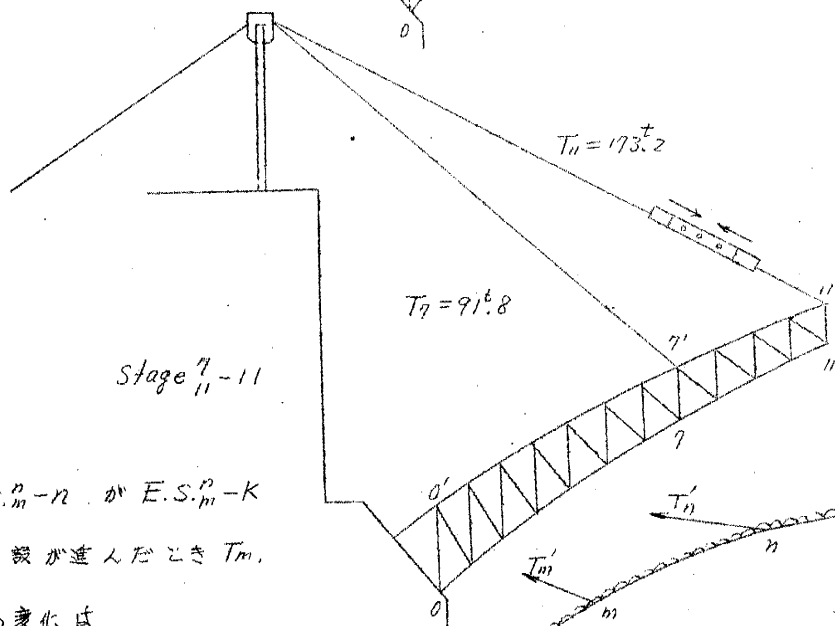
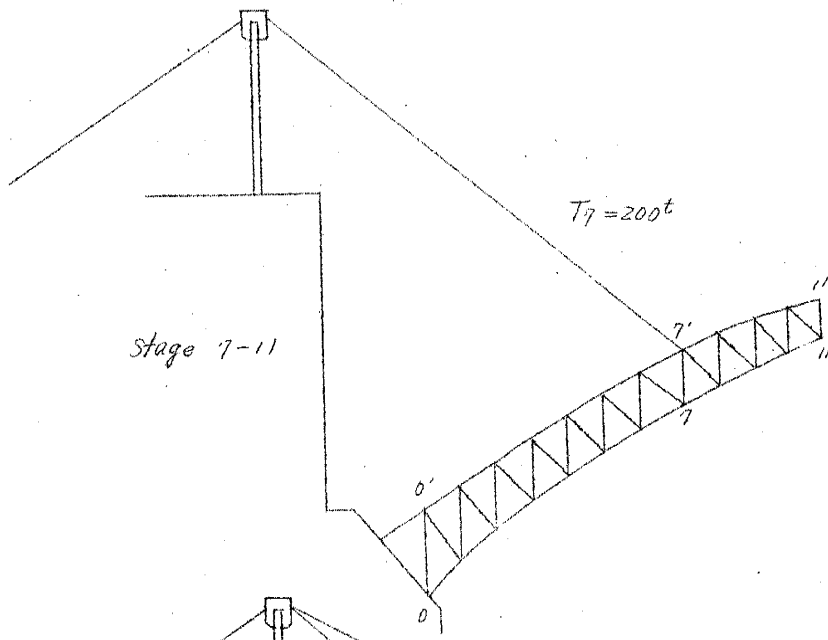
2. 伊ノ浦橋のアーチの架設順序は図-1 に示す如くである。例へば Erection stage 7-11 において $T_g = 200t$ の場合 T_{II} wire を取付け adjustable link を操作により $T_{II} = 173.22$ の力を入れると T_g は $200t \rightarrow 91.776$ に減する。更に T_{II} はそのまゝにしておいて T_g の adjustable link を操作して $71.899t$ 張力を増加せしめれば ($T_g 91.776 \rightarrow 163.675$) T_{II} は $173.22 \rightarrow 142.752t$ に減る。この状態より即ち E.S. 7-11 より E.S. 7-15 に架設が進むはこの状態より即ち E.S. 7-11 より E.S. 7-15 に架設が進むは $T_g = 186.073$ $T_{II} = 200t$ となり且つ二つの 2 つの wire により $\delta_{15}^b = 0$ 即ち所定の位置に arch は保たれ次のジャギー操作に入つてある状態になる。

以上を見れば T_g , T_{II} 何れも $200t$ 以上に及らないと云う條件が入つてゐる。これら wire は $\phi 50mm$ (破断強度 $155t$) で使用荷重 $35t$ として至



i). T_7, T_{11} 何れも 6 倍より成るためである。

ニル革の計算にあたつては、アーチ構造の垂直変位及水平変位と wire の伸び率が問題になるもので、その 1 例を示せば、



$E.S.m^n - n$ かつ $E.S.m^n - K$

に係るが進んだとき T_m .

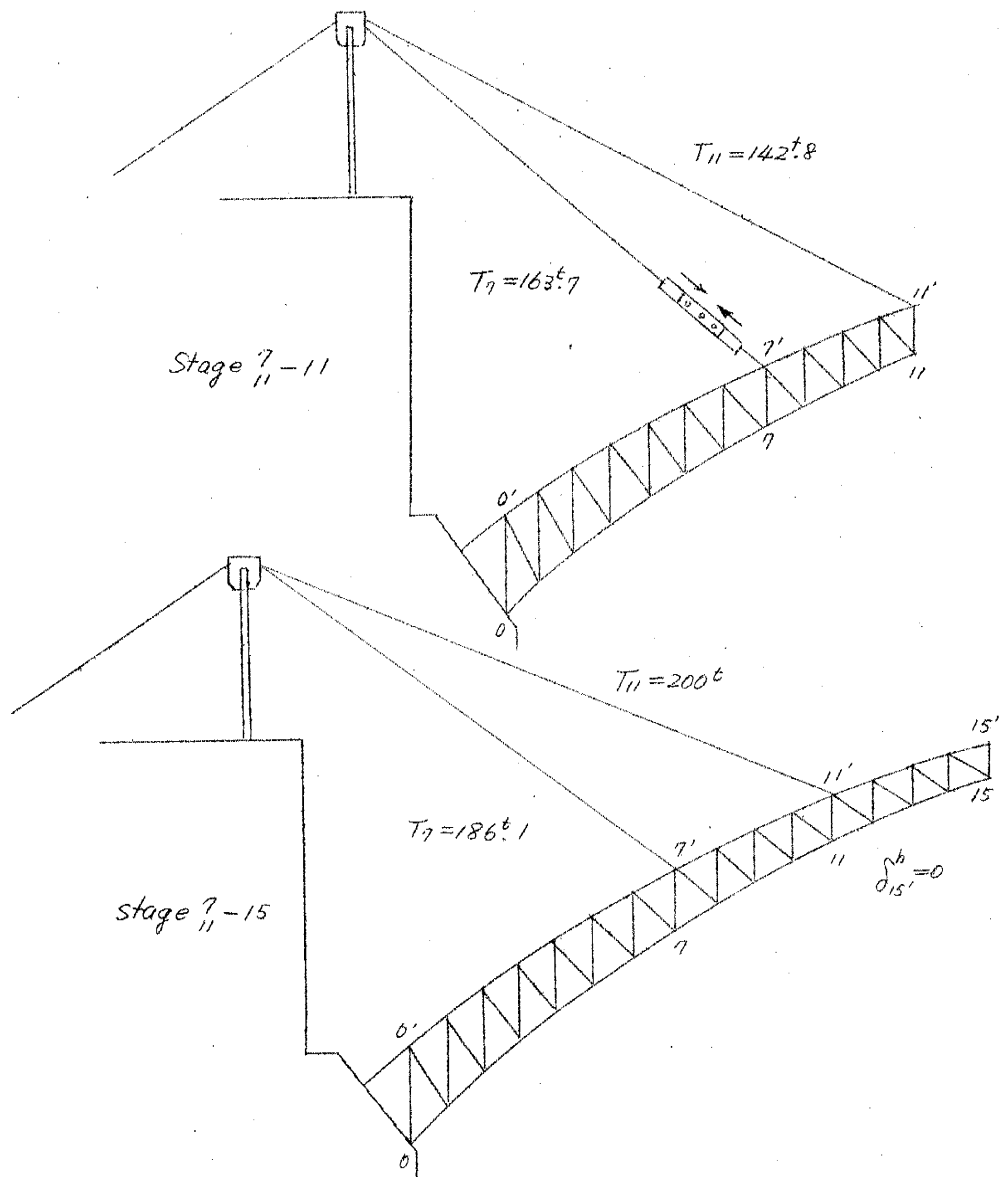
T_n の変化は

$$(\uparrow \delta_m^v T_m \cdot \alpha_m + \leftarrow \delta_m^h T_m - \beta_m + \Delta_m')$$

$$(T_m' - T_m) + (\uparrow \delta_m^v T_n \cdot \alpha_m + \leftarrow \delta_m^h T_n \cdot$$

$$\beta_n + \Delta_n') (T_h' - T_n) = (\uparrow \delta_m^v E_n$$

$$- \uparrow \delta_m^v E_K) \alpha_m + (\leftarrow \delta_m^h E_n - \leftarrow \delta_m^h E_K) \beta_m$$



$$(\uparrow \delta_n^v T_m \cdot \alpha_n + \leftarrow \delta_n^h T_m \cdot \beta_n + \Delta n' n) (T_{n'} - T_m) + (\uparrow \delta_n^v T_n \cdot \alpha_n + \leftarrow \delta_n^h T_n \cdot \beta_n + \Delta n') (T_{n'} - T_n)$$

$$= (\uparrow \delta_n^v E_n - \uparrow \delta_n^v E_k) \alpha_n + (\leftarrow \delta_n^h E_n - \leftarrow \delta_n^h E_k) \beta_n$$

$\uparrow \delta_n^v T_n, \leftarrow \delta_n^h T_n$; $T_m = 1$ に沿る n 点の垂直並に水平変位

$\uparrow \delta_m^v E_n, \leftarrow \delta_m^h E_n$; m 点の *erection load* による m 点の垂直並に水平変位。

α_m, β_m ; T_m wire の方向余弦。

Δm , Δn , $\Delta m'n = \Delta n'm$; wire (前方索、後方索の夫々に対する) の長さ、側斜角
本数、彈性特性に關係する係数。

上記 2つの式より ΔT_m , ΔT_n の 2つが求められる。

3. アーチの開合に當つてはジヤキーにより次の力を作用せしめる。

$$\text{上弦側ジヤキー推力} = 324.602^t$$

$$\text{下弦側ジヤキー推力} = 283.698^t$$

ニルに対し当初 400t ジヤキー 1 台宛を考へてゐたが、現場におけるジヤキーの効率、弦棒の構造等より夫々に対し 300t ジヤキー 2 台宛合計 600t のジヤキーを使用する予定である。

ジヤキーの使用法であるが、現在の考へは

製作キヤンバーの水平成分 3.071^{cm} についてゐるので T_m , T_n をそのまゝにしておいてジヤキーの推力により 3.071^{cm} だけアーチを推進す。この状態で楔を入れ T_m , T_n の wire をゆるめ尼山製作架設の誤差及び支承荷重(支脚)の測量の誤差が石ケル床所要の平施力か添加された固定アーチが完成するが、ニルらの誤差があると予想せねばならぬから、wire のない状態において上弦側 324^t , 下弦側 283^t のジヤキー推力を出して先に入れた楔の微少の修正を行つてアーチの開合を完了する。この最後の楔の修正が微少ですむか否かは測量の精度、製作、架設の精度に左右されるものである。

4. 上述の他に架設の風压に対する附筒索、wire の長さの調整、張力の測定、架設中のアーチの位置の測定、ドルフトピンの精度、reveting の時期等の問題があるが、之は後日に譲ることとする。

表 - 1 Stress Sheet Inourabashi E.C. Elastic Centroid $H=27.264\text{m}$
 $M=238.49\text{tm}$

to L (t)	Rectangular Loading				Pre Stress				Total (c)	
	due to (+) L.L. (e)	due to (-) L.L. (e)	due to Temp change $\pm 15^\circ\text{C}$ (e)	S U m (A)	due to Applied at E.C.	due to Applied at E.C.	(B)		Tension	Compression
				Tension	Compression					
56.6	+ 125.8	- 193.5	± 161.9	+ 247.6	- 391.6	- 225.4	- 24.6	- 250.0		- 641.6
62.8	+ 64.8	- 122.4	± 133.6	+ 84.5	- 418.7	- 185.7	- 28.3	- 214.0		- 632.1
42.9	+ 21.6	- 94.5	± 102.7		- 440.3	- 141.8	- 32.7	- 174.5		- 614.8
65.6	+ 7.5	- 104.5	± 69.1		- 479.2	- 93.8	- 37.8	- 131.6		- 610.9
48.8	+ 18.2	- 140.2	± 33.7		- 522.9	- 43.4	- 43.4	- 86.8		- 609.7
99.7	+ 30.9	- 176.1	± 0.5		- 576.4	+ 8.5	- 47.0	- 40.5		- 618.9
28.7	+ 22.6	- 197.8	± 38.8		- 615.4	+ 68.2	- 53.4	+ 28		- 660.6
37.7	+ 23.8	- 197.5	± 47.3		- 682.5	+ 92.2	- 56.8	+ 15.4		- 667.0
31.2	+ 28.4	- 289.9	± 103.8		- 1219.9	+ 143.9	+ 25.7	+ 169.5		- 1050.4
90.9	+ 11.7	- 241.3	± 95.6		- 1007.9	+ 103.9	+ 29.2	+ 133.1		- 874.8
81.7	+ 18.3	- 221.3	± 44.9		- 847.9	+ 60.1	+ 33.4	+ 93.6		- 754.4
46.9	+ 21.2	- 219.7	± 28.6		- 790.2	+ 12.8	+ 38.3	+ 57.1		- 691.7
34.4	+ 51.1	- 206.3	± 22.9		- 663.4	- 36.5	+ 43.7	+ 7.1		- 656.4
70.1	+ 55.4	- 183.6	± 56.3		- 610.1	- 84.8	+ 49.1	- 38.2		- 645.8
43.3	+ 46.9	- 154.6	± 83.8		- 581.8	- 123.6	+ 53.7	- 69.9		- 651.8
21.9	+ 40.5	- 133.8	± 99.9		- 555.1	- 146.4	+ 56.4	- 90.0		- 643.1
60.7	+ 46.5	- 35.3	± 14.6	+ 121.8	- 7.4	- 20.9	+ 2.7	- 18.2	+ 103.6	- 25.6
49.0	+ 51.9	- 26.1	± 18.6	+ 119.6	- 10.5	- 26.6	+ 3.4	- 23.2	+ 94.4	- 33.4
23.8	+ 51.1	- 23.5	± 18.7	+ 113.6	- 11.6	- 26.8	+ 3.4	- 23.4	+ 90.2	- 35.0
2.9	+ 58.8	- 46.8	± 2.6	+ 64.3	- 41.3	- 3.7	+ 0.5	- 3.2	+ 61.1	- 56.5
15.2	+ 42.1	- 75.2	± 20.3		- 230.7	+ 28.9	- 2.1	+ 26.8		- 203.9
50.4	+ 18.9	- 48.2	± 17.2		- 125.8	+ 24.5	- 1.5	+ 23.0		- 162.8
45.6	+ 14.1	- 37.3	± 10.6		- 93.5	+ 15.0	- 0.3	+ 14.7		- 178.8
17.1	+ 4.4	- 20.2	± 1.6		- 38.9	+ 2.5	- 1.9	+ 0.6		- 38.3

九州電力管内水害状況報告

九州電力 小川武雄

1. まえがき

昭和28年6月25日より本格的な豪雨による惨憺たる被害の状況は未だ皆様の記憶に新たな事と思ひきすか、今豪雨の猛威の跡を振り返って将来に於ける貴重な資料とする事はあながち無駄な事ではないと考えます。

以下簡単に水力発電所被害の内土木関係を主体に其の概要を述べまぜう。

2. 九州地方に於ける当時の気象状況